

KOBIE SERIE BIZKAIKO ARKEOLOGI INDUSKETAK - EXCAVACIONES ARQUEOLÓGICAS EN BIZKAIA, nº 2: 77-88
Bizkaiko Foru Aldundia-Diputación Foral de Bizkaia
Bilbao - 2012
ISSN 0214-7971
Web <http://www.bizkaia.eus/kobie>

ESTUDIO DE LA INDUSTRIA LÍTICA, ÓSEA Y CERÁMICA DEL YACIMIENTO DE ASKONDO (MAÑARIA, BIZKAIA)

Analysis of the lithic, bone industries and ceramics from Askondo site (Mañaria, Bizkaia)

Joseba Rios Garaizar¹
Millán Mozota Holgueras²

Palabras clave: Industria lítica. Sílex. Lutita. Industria ósea. Retocador. Punta de Isturitz. Cerámica

Gako-hitzak: Harri industria. Suharria. Lutita. Hezur Industria. Ukigailua. Isturitz punta. Zeramika.

Keywords: Lithic industry. Flint. Mudstone. Bone industry. Retoucher. Isturitz Point. Ceramics.

RESUMEN

Se describen los hallazgos de industria lítica, ósea y cerámica del yacimiento de Askondo. La industria lítica, aunque escasa, permite diferenciar los niveles del Paleolítico Medio de los del Paleolítico Superior Inicial (Auriñaciense). La industria ósea es escasa pero significativa, especialmente la punta de Isturitz recuperada en la superficie de la cueva en los años 80. La cerámica, prehistórica e histórica es muy escasa.

LABURPENA

Askondon berreskuratutako harri industria, hezur industria eta zeramika deskribatzen da. Oso urria izan arren harri industriari esker posible da Erdi Paleolito eta Goi Paleolitoko mailak ezberdintzea. Hezur industria oso urria da ere, baina topatutako tresnak oso esanguratsuak dira batik bat Isturitz punta. Historiaurreko eta aro historikoaren zeramika oso exkaxa da.

ABSTRACT

Lithics, bone industry and ceramics found in Askondo site are described. Lithic industry, albeit scarce, allows a separation between Middle Paleolithic and Initial Upper Paleolithic (Aurignacian) levels. Bone industry is also scarce but meaningful, especially the Isturitz type point found in the surface of the cave in the 80s. Historic and Prehistoric ceramics are very scarce.

1 Centro Nacional de Investigación sobre la Evolución Humana

2 Institución Milá y Fontanals, Consejo Superior de Investigaciones Científicas, Barcelona

1. INTRODUCCIÓN.

Se describe a continuación el conjunto de evidencias industriales, líticas, óseas y cerámicas, recuperadas en los sondeos realizados en la cueva de Askondo.

2. INDUSTRIA LÍTICA.

El conjunto de industria lítica es muy reducido. Apenas hemos identificado 23 restos líticos tallados de sílex (16), limonita (4), arenisca (1), cuarzo hialino (1) y ofita (1); 7 esquirlas de sílex (6) y ofita (1); 5 cantos con huellas de uso de arenisca (4) y de ocre (1); 4 cantos rodados sin huellas de uso aparentes de arenisca (3) y cuarcita (1).

2.1 Inventario.

Nivel 13:

AZ.O13.3.20.002: Fragmento de cuarzo hialino fracturado mediante percusión bipolar. Los estigmas de la percusión así como las direcciones de las extracciones son difíciles de leer ya que se trata de una materia poco controlable para la talla. En una de las caras conserva la superficie exterior cristalina, en la cara opuesta dos caras ventrales unidas por una arista central. El soporte (37x35x12 mm, 18,2 g) presenta en un lateral un filo agudo que parece apropiado para actividades poco precisas de corte (70°).

Nivel 12:

AZ.O13.3.19.007: Pequeño retocador sobre canto de arenisca (41x42x14 mm, 36,8g). Uno de los lados estrechos, plano, presenta piqueteados que pueden interpretarse como huellas de percusión.

AZ.O13.3.19.003 (fig. 1: 4): (61x52x11 mm, 37,8 g) Raedera lateral convexa fabricada sobre lasca de limonita. Presenta un talón liso (115°, 85°), percusión dura y negativos centrípetos. El estado de conservación es relativamente bueno aunque presenta una fractura postdeposicional por compresión (los dos fragmentos aparecieron pegados uno al otro) una fuerte oxidación y una ligera erosión de las aristas. Los retoques se sitúan en el filo derecho (52 mm), son amplios, poco detallados y semi-abruptos (7 mm, 70°). En la parte distal presenta una serie de retocados (43 mm) hacia la cara plana de delineación denticulada (5 mm, 55°).

Nivel 11:

AZ.O13.2.11.903: Lasquita de ofita (15x10x3 mm, 0,7g). Presenta el talón liso estrecho (130°, 90°),

negativos unipolares y sección triangular. El estado de conservación es bueno.

AZ.O13.2.11.908: Esquirla de ofita (7x3x2 mm).

AZ.O13.1.18.009 (fig. 1: 2): Lasca cortical de arenisca ferruginosa. (40x32x15 mm, 21,5g). Presenta un negativo de una extracción previa transversal realizado desde el lado izquierdo. El talón es liso, ancho (10x27 mm). El punto de percusión no está muy marcado (120°, 85°). El filo izquierdo (40 mm, 45°) está erosionado y presenta desconchados bifaciales. El resto de las aristas, aunque erosionadas, no presentan el mismo estado por lo que debemos interpretarlo como el resultado de un uso longitudinal.

AZ.O13.1.18.193 (fig. 1: 3): Fragmento distal de una lasca fabricada en una materia lutítica, probablemente lutita tobácea (19x16x4 mm, 1,2g). La fractura parece de talla. El soporte presenta negativos cruzados que indican un desarrollo centrípeto de la talla. En el lado derecho presenta unos desconchados unificiales que parecen relacionados con el uso.

AZ.O13.1.18.194 (fig. 1: 1): Lasca reflejada de lutita ferruginosa (28x26x10 mm, 7,7g). El soporte presenta negativos transversales y opuestos. El talón es diedro asimétrico (8x25, 115°, 75°) y la lasca arrastra un flanco del núcleo en el lado derecho. La pieza puede interpretarse como una lasca discoide cordal.

AZ.O13.1.18.159: (63x42x23 mm, 87,1g.). Canto rodado aplanado de arenisca. Presenta en uno de los lados planos una serie de cúpulas características que lo identifican como elemento de percusión o yunque.

AZ.O13.2.11.905 al 907: Tres esquirlas de sílex

Nivel 10:

AZ.O13.1.17.002 (fig. 2: 5): Lasquita laminar de sílex de Urbasa (15x10x2 mm, 0,3g). Presenta negativos previos, oblicuos y unipolares de soportes semejantes. El perfil es curvo, sobrepasado, la sección trapezoidal y el punto de impacto bien definido, puntiforme, con abrasión previa de la cornisa (115°, 75°). Es un soporte propio de núcleos de laminillas tipo raspador carenado.

AZ.O13.1.17.018 (fig. 2: 6): Fragmento proximal de lasquita laminar de sílex de Urbasa (8x6x1 mm, 0,09g). Presenta negativos previos de laminillas. El perfil es recto la sección trapezoidal y el punto de impacto es lineal, con abrasión previa de la cornisa (105°, 75°). Probablemente proviene de un núcleo de laminillas tipo raspador carenado.

AZ.O13.1.17.023 (fig. 2: 3): Lasquita de sílex de Urbasa (13x11x3 mm, 0,2 g.). Presenta negativos previos, oblicuos y unipolares de soportes microlami-



Figura 1. Materiales de los niveles 11 (1 a 3) y 12 (4).

nares. El perfil es curvo, sobrepasado, la sección trapezoidal y el punto de impacto lineal con abrasión previa de la cornisa. Probablemente proviene de un núcleo de laminillas tipo raspador carenado. El soporte presenta unos pseudoretoques en uno de los filos probablemente provocados por uso.

AZ.O13.1.17.023 (fig. 2: 2): Lasquita de sílex de Urbasa (12x15x2 mm, 0,2 g.). Presenta negativos previos unipolares, uno de ellos amplio, tipo clactoniense, y los otros estrechos de laminillas. El perfil es curvo, sobrepasado, la sección trapezoidal. El punto de impacto está machado pero presenta abrasión previa de la cornisa. Remonta con AZ.O13.1.17.004 en una secuencia de acondicionamiento y talla de un núcleo de laminillas tipo raspador carenado.

AZ.O13.1.17.004 (fig. 2: 1): Laminilla curva de silueta apuntada (12x6x2 mm, 0,1g). Presenta negativos previos oblicuos. El perfil es curvo, sobrepasado, la sección triangular y el punto de impacto bien definido, lineal con abrasión previa de la cornisa (115°, 75°). Remonta con la anterior (AZ.O13.1.17.023).

AZ.O13.3.18.016: Fragmento proximal de sílex de Urbasa (6x6x1 mm, 0,1g) Se ha recuperado en el nivel 11 pero probablemente pertenece al nivel 10. El perfil parece recto y la sección triangular. Los negativos

previos son unipolares. El talón está machacado pero se aprecia una preparación previa de la cornisa.

AZ.O13.1.17.017 (fig. 2: 7): Fragmento proximal de laminilla rectilínea de sílex del flysch (7x4x1 mm). Tiene los bordes paralelos y negativos previos unipolares. La sección es trapezoidal. El talón está machado pero puede leerse que se abrasionó previamente la cornisa. Proviene probablemente de un núcleo prismático.

AZ.O13.1.17.001 (fig. 2: 8): Fragmento proximal de laminilla recta de bordes paralelos de sílex del Flysch (10x6x1 mm, 01g). Presenta negativos previos unipolares, la sección es trapezoidal. El talón es lineal con abrasión de la cornisa (100°, 90°). Proviene probablemente de un núcleo prismático.

AZ.O13.1.17.008 (fig. 2: 4): Fragmento mesial de lámina de sílex del Flysch (11x8x2 mm, 0,1 g.). El soporte presenta perfil recto, sección trapezoidal y negativos previos oblicuos.

AZ.O13.1.17.010 y AZ.O13.1.17.019: Dos esquirlas de sílex del Flysch.

AZ.O13.2.11.904: Laminilla recta de bordes paralelos fabricada en sílex indeterminado (7x4x1mm, 0,1g). Se ha recuperado en el nivel 11 pero probablemente pertenece al nivel 10. Los negativos previos son unipolares y la sección triangular. El talón es lineal y hay preparación previa de la cornisa (105°, 80°). Probablemente proviene de un núcleo de tipo prismático.

AZ.O13.3.18.016: Esquirla de sílex, Se ha recuperado en el nivel 11 pero probablemente pertenece al nivel 10.

AZ.O13.3.17.007: Lasca de grandes dimensiones realizada a partir de un canto rodado de limonita (54x48x20 mm, 40,8g). El talón es cortical y la lasca desborda un flanco. Los negativos previos son multidireccionales y secantes, indicando un sistema de talla de lascas no Levallois. El soporte está fuertemente erosionado y oxidado.

AZ.O13.2.10.138: Lasca de decorticado secundario de limonita (47x35x14mm21, 5g). El soporte está fuertemente oxidado y las aristas erosionadas, no podemos descartar que la finalidad del objeto haya sido la extracción de ocre.

AZ.O13.1.17.016: Canto de ocre (50x18x13 mm, 15,3 g.), presenta una serie de incisiones en una de las caras y erosión en una de las aristas que indican que probablemente fue usado.

AZ.O13.4.17.004: Canto de arenisca (51x56x23 mm, 114,3 g). Una de las caras planas presenta una

superficie muy pulida acompañada de pequeñas depresiones que parecen sugerir un uso como percutor o como elemento durmiente.

AZ.O13.2.10.008: Canto rodado de arenisca (85x60x30 mm, 186,5g). Tiene una forma natural apuntada. En la punta presenta depresiones que pueden estar relacionadas con un uso en percusión. Huellas semejantes aparecen también en una de las caras planas.

Nivel 9:

AZ.O13.1.16.111 (fig. 2: 9): Astilla de gran tamaño realizada sobre una soporte de sílex de Treviño retozada lateralmente con anterioridad al uso (40x15x5 mm 2,1 g). El retoque previo es escamoso (4 mm, 55°). El uso en percusión de la pieza astillada ha provocado el desprendimiento de una lasca Kombewa de gran tamaño que arrastra parte del retoque previo en un lateral y que presenta esquillamientos unificiales profundos (8-11 mm) en ambos extremos de la pieza.



Figura 2. Industria lítica del nivel 10 (1-8) y 9 (9).

AZ.O13.2.9.021: Fragmento proximal de laminilla de sílex de Urbasa (9x5x1 mm 0,1 g). Presenta negativos previos oblicuos, la sección es trapezoidal. El talón es puntiforme (115°, 80°). Proviene probablemente de un núcleo tipo raspador carenado.

AZ.O13.2.9.010: Lasca de decortinado secundario de sílex del Flysch (24x26x7 mm 3,2 g). Presenta negativos de lascados previos. El soporte parece provenir del flanco de un núcleo de laminillas. El talón es liso *à pan* (135°, 65°).

AZ.O13.1.16.005: Canto rodado de arenisca, aplanado y alargado, sin huellas evidentes de uso (63x32x15 mm, 41,6 g.).

Nivel 8:

AZ.O13.2.8.013: Canto rodado de arenisca sin huellas sin huellas evidentes de uso (52x45x24 mm, 74,3g.).

Nivel 7:

AZ.O13.3.14.1: Fragmento proximal de lámina de sílex del Flysch. (15x14x4 mm, 0,6g). La sección es trapezoidal, los negativos previos unipolares y el talón liso (110°, 70°).

Nivel 5:

AZ.O13.3.11.015: Canto rodado aplanado de cuarcita o calcita (110x62x25 mm, 265,3g.). La pieza está completamente concrecionada por lo que es imposible leer la existencia de huellas de utilización.

Nivel 3:

AZ.O13.2.5.008: Canto rodado aplanado de arenisca ferruginosa (57x30x14 mm, 21,2g.). La pieza está parcialmente concrecionada y presenta una intensa oxidación que parece provocada por la acción del fuego.

Fosa:

AZ.O13.4.7.004: Fragmento distal de laminilla curva de sección triangular (5x4x1, 0,1 g.).

2.2 Síntesis.

A) En los niveles más antiguos no hay restos de sílex y que, tecnológicamente, los caracteres son arcaicos. Hay además útiles no configurados usados en trabajos de percusión y retoque. Estas características remiten a un Paleolítico Medio más antiguo que el recuperado en la secuencia exterior de Axlor, en Amalda o en Lezetxiki IV-III (Rios-Garaizar 2009).

B) En el nivel 10 se tallaron laminillas a partir de raspadores carenados y de núcleos prismáticos de sílex de Urbasa y del Flysch. También se obtuvieron lascas de limonita según sistemas de fabricación más arcaicos. Hay además dos cantos de arenisca usados en percusión y un canto de ocre con huellas de manipulación. Las características de la producción de laminillas y la datación del nivel sugieren una adscripción Auriñaciense, siendo el conjunto semejante al descrito en el nivel X de Ekain (Rios-Garaizar 2011)

C) En los niveles pleistocenos superiores (9-4) hay algunas evidencias industriales aisladas, lo que indica probablemente un menor impacto antrópico.

3. INDUSTRIA ÓSEA.

El conjunto de industria ósea recuperado en Askondo es muy reducido. El elemento más característico es la azagaya de tipo Isturitz recuperada por aficionados a la espeleología en la superficie del interior de la cavidad en el año 1983 (Labraz 1990). En excavación hemos recuperado únicamente un retocador en hueso en el nivel 5.

3.1. Punta de Isturitz: Se trata de un fragmento de punta realizado sobre materia ósea, probablemente hueso. La fractura es reciente y afecta a la parte distal de la pieza. Presenta una forma ahusada, de bordes paralelos en la zona central, convergiendo el lado izquierdo en la parte proximal configurando así una morfología típica en *déjet latéral* del extremo apuntado. La sección es también ahusada, con los extremos aguzados (Dimensiones: 96x25x10 mm: a 2 cm de la punta 13x9 mm, a 4 cm 20x10 mm; ángulo punta 25°, 30°, laterales: derecho 80°, izquierdo: 80°, peso: 14,8 g). La pieza muestra huellas tecnológicas provocadas por el ranurado, el raspado y el biselado (fig. 3: a). Es interesante señalar que el interior esponjoso sólo se elimina en el extremo proximal. Presenta asimismo serie de incisiones características en el tercio proximal poco profundas sobre la cara plana (fig. 3: c) y más profundas sobre los laterales (fig. 3: a, entre 5 y 2,7 mm de longitud). La pieza no muestra huellas de uso visibles en el extremo apuntado.

En el cercano yacimiento de Bolinkoba se recuperó en el nivel D Una punta de Isturitz fabricada en hueso (fig. 4) muy semejante a la de Askondo tanto morfológica como tecnológicamente (San Juan-Foucher y Vercoutère 2003). En este caso los bordes son convergentes y la sección es más ovalada que la de la punta de Askondo. En este caso tampoco se regulariza completamente la superficie dejándose expuesta la parte esponjosa. A diferencia de la de Askondo y la de Aitzbitarte III sólo el lado izquierdo se bisela dejándose el derecho como una superficie redondeada. Los filos laterales son convergentes (no paralelos) en toda

la superficie conservada lo que le confiere un aspecto más masivo (Dimensiones: 84x29x12 mm: a 2 cm de la punta 14x9 mm, a 4cm 23x11 mm; ángulo punta 30°, 15°, laterales: derecho redondeado, izquierdo: 90°, 15,5 g). Entre las huellas de trabajo se pueden ver raspados de las superficies para conformar la punta y aplanar el soporte. Se puede ver en la cara ventral alguna huella de raspado más basta que no ha sido eliminada por el raspado ligero ulterior. Las muescas laterales (3 mm) y las incisiones de la cara superior (6 mm) son más netas que en la pieza de Askondo en parte por la mejor conservación del resto.

En los yacimientos gravetienses del cantábrico central y occidental no existen ejemplares semejantes, excepto tal vez las de Cueto de la Mina que pueden considerarse como atípicas (de la Rasilla y Santamaría 2006). En el cantábrico oriental encontramos los ejemplares de Aitzbitarte III, muy semejante a la de Askondo, con bordes paralelos y extremo *déjeté*, y de Usategi, que se diferencia de las anteriores por las muescas laterales (Mújica 1983). En Francia este tipo de útiles son muy abundantes en los yacimientos de Gargas e Isturitz, y están también presentes en yacimientos del SW de Francia como Abri Pataud (Goutas 2008). Generalmente aparecen asociados a conjuntos Gravetienses ricos en buriles de Noailles.

La anchura máxima de las puntas de Askondo (25 mm), Aitzbitarte III (25 mm), Bolinkoba (29 mm) y Usategi (29 mm) es superior a la media de las puntas recuperadas en el yacimiento de Isturitz entrando las dos primeras dentro de la desviación típica de las anchuras y acercándose las otras dos a los valores máximos (Goutas 2008). Comparadas con las de Gargas o Abri Pataud los valores son también ligeramente superiores (San Juan-Foucher y Vercoutère 2003). Los espesores (Az: 10 mm; B: 12 mm; U: 12 mm; AITIII: 10 mm) están muy cerca de los valores medios (9,9 mm) documentados en Isturitz (Goutas 2008). El estado fragmentario de estas piezas así como la ausencia de huellas de utilización netas impide una aproximación funcional precisa de estos restos. Sus características morfológicas, especialmente el cuidado con el que se apunta el extremo, parecen apuntar a una función de caza.

3.2. Retocador de hueso: En el nivel 5, de cronología Gravetiense, se ha recuperado un útil en hueso, un retocador utilizado para trabajar, mediante retoque, herramientas líticas. Estos objetos han sido descritos y estudiados de forma exhaustiva para el Paleolítico medio (Mozota 2009) y en menor medida para otros periodos (Rigaud 2007).

Se trata de un fragmento de diáfisis de un hueso largo de extremidad (fig. 47: A), perteneciente a un macromamífero, con toda probabilidad de talla grande (gran bóvido o caballo). Mide 94 mm de largo, en su

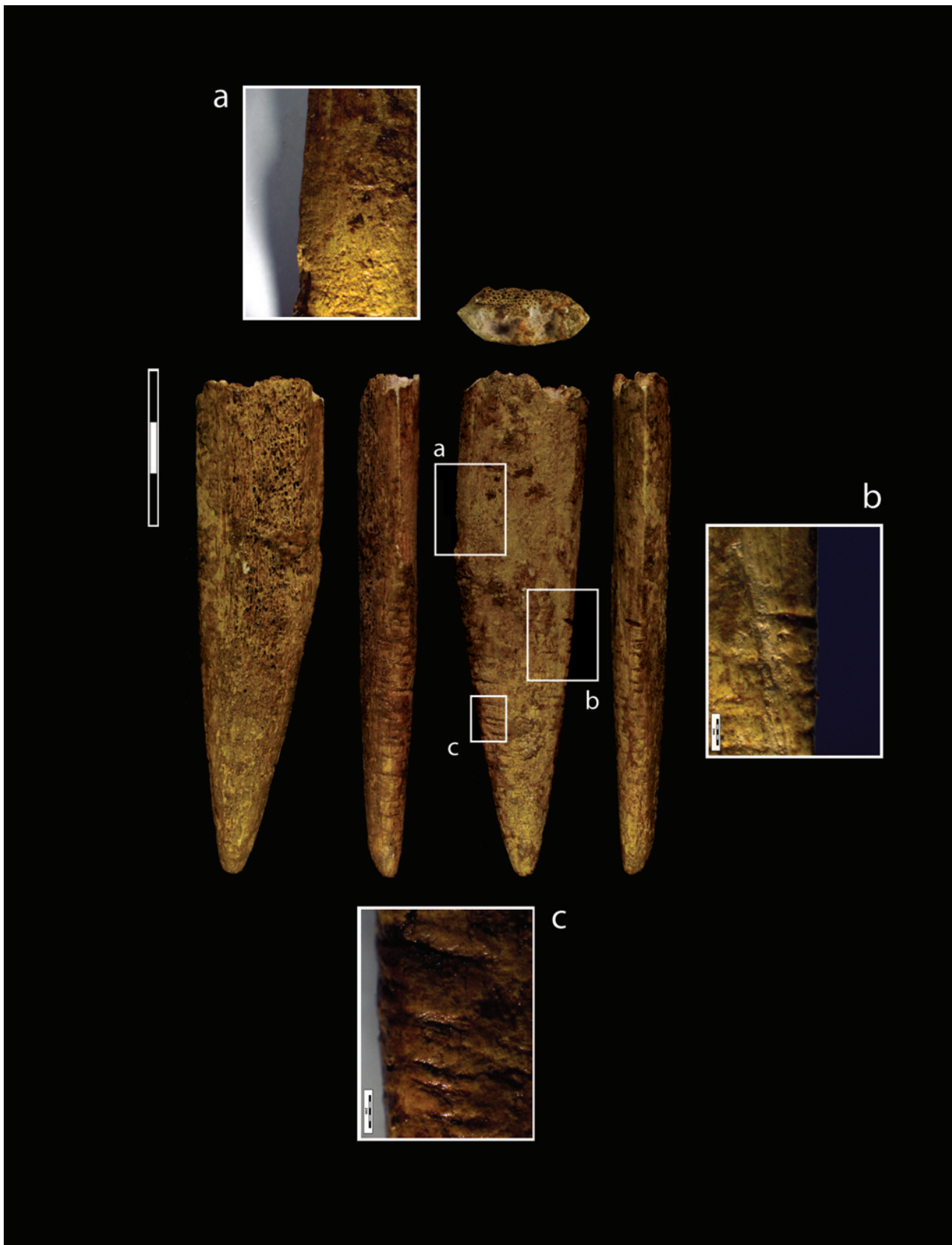


Figura 3. Punta de Isturitz del yacimiento de Askondo. a: Huellas de raspado conformando el biselado lateral, b: incisiones laterales; c: Incisiones sobre la cara plana.



Figura 4. Punta de Isturitz de Bolinkoba: a: incisiones cortas en la punta; b: incisiones largas en la cara dorsal creadas por pasadas repetidas; c: incisiones en la cara ventral convergentes; d: incisiones en la cara ventral; e: fractura proximal; f: series de incisiones cortas creadas por pasadas repetidas; g: incisiones cortas sobre el bisel; h: incisiones cortas a ambos lados del bisel; i: incisiones realizadas sobre huellas de ranurado; j: ranuras laterales creadas sobre el plano del bisel.



Figura 5. Mapa con la localización de los yacimientos con puntas de tipo Isturitz (adaptado a partir de Goutas 2008, mapa de base Eric Gaba).

eje mayor; y su anchura recta es de algo más de 29 mm, mientras que, medida sobre la cortical del soporte, dicha anchura es de 30 mm. Es, por lo tanto, un soporte con poca convexidad en su eje transversal, de tendencia plana en dicha dimensión. Es también una pieza robusta en cuanto a su espesor, de casi 14 mm. Sobre el soporte se aprecia *de visu* la presencia de una zona de uso con numerosas huellas de la utilización como retocador, situada hacia uno de los extremos de la cara cortical. Hay una segunda zona activa, que se observa con claridad a bajos aumentos (x5-50), con vestigios de un uso mucho menos intenso, y situada hacia el extremo opuesto del soporte.

Desde el punto de vista de los procesos tafonómicos, el hueso presenta en primer lugar una serie de evidencias de percusión masiva para la fractura de la diáfisis, que se concentran en los biselados de fractura laterales, y toman la forma de conos de percusión con *hackle-marks* (Johnson 1985), y microlascados (*micro-flaking*) en los bordes laterales (que se forman al colapsarse y fracturarse la diáfisis). Además, hay

marcas de mordedura o roído de un mamífero de muy pequeño tamaño (fig. 6: H) en la cara cortical, muy cerca del borde derecho, hacia la cara mesial.

La zona de uso principal se puede delimitar con relativa facilidad, gracias a la gran concentración de huellas de uso que la forman. Tiene una morfología típicamente alargada en forma de óvalo (27x12 mm) y se sitúa a algo más de 4 mm del extremo distal. Está ligeramente lateralizada en el eje transversal, más próxima al lateral izquierdo que al derecho.

La segunda zona activa, que denominamos aquí secundaria, tiene límites más difusos, al estar formada por una concentración mucho menor de huellas de uso. Presenta una forma *grosso modo* circular (9x8 mm) y se sitúa a 11 mm del extremo proximal del soporte. En este caso, no presenta prácticamente lateralización, estando centrada en el eje transversal del soporte.

La morfología de las zonas activas, en particular la principal (la más diagnóstica en cuestiones técnicas,

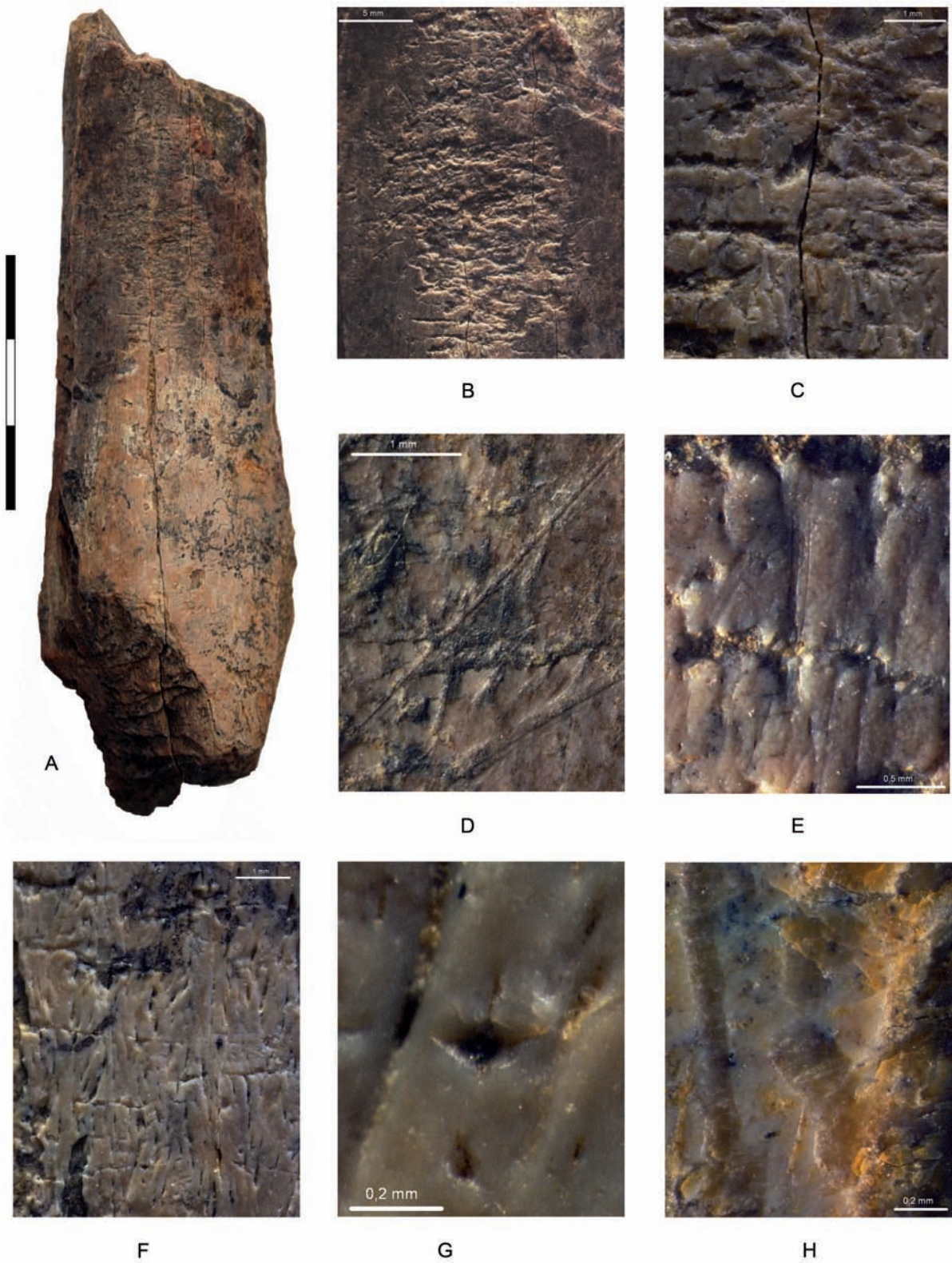


Figura 6. Retocador de hueso del nivel 5. A. Vista gral.; B-F. Imp. lineales; D y E. Estrías asociadas; G. “Imp. triedro”, H. Marcas de dientes de pequeño tamaño.

ya que refleja un uso mucho más continuado) sugiere una utilización con gestos de percusión antes que con gestos de presión directa, ya que las experimentaciones apuntan a que, en ese último caso las zonas activas presentan morfologías circulares, no elipsoides (Mozota 2007). También la posición de la zona activa, cuyo extremo superior está muy próximo al borde distal del soporte, apunta más a percusión que a trabajos por presión. Por otra parte, la lateralización podría sugerir que fue utilizada por un sujeto zurdo, en el caso de tratarse de un retoque por percusión, pero dado que hay otras variables que influyen en este aspecto (como el modo de sujetar el útil, el gesto específico de trabajo, y la posición del útil trabajado con respecto al retocador) no es prudente aceptar esta hipótesis con un único objeto lateralizado como elemento de juicio.

La zona de uso principal presenta al menos 132 impresiones lineales (todas las que se pudieron individualizar y medir) con una longitud media de 1,28 mm (fig. 6: B-C), y una orientación que coincide prácticamente con el eje transversal. La cantidad de impresiones apunta a un trabajo de notable intensidad o prolongado en el tiempo: según el referente experimental, y como mínimo, más de cinco minutos de trabajo continuo y más de 200 percusiones (Mozota 2007). El tamaño de las impresiones lineales apunta a un retoque simple, poco invasivo, y sobre lascas poco espesas. Además, la zona activa presenta 3 impresiones en forma de negativo de triedro (“impresiones triedro”), y 15 estrías longitudinales-oblicuas, asociadas a las impresiones lineales. Estas estrías están, en su mayor parte, situadas a la derecha de la zona de uso y con una delimitación de dentro a fuera de dicha zona activa (fig. 6: D-E). Esta disposición en “cola de cometa”, es típica de las tareas de percusión.

En cuanto a la zona de uso secundaria, presenta sólo 19 impresiones lineales (fig. 6: F) de sencilla individualización (que probablemente reflejan otras tantas percusiones), y una impresión triedro (fig. 6: G).

Se trata por tanto de un útil de tipo retocador, utilizado en tareas de retoque simple por percusión, poco invasivo, y probablemente sobre útiles líticos poco espesos. El uso, además, es particularmente intenso en la zona activa principal, lo que apunta a tareas intensas o reiteradas.

4. CERÁMICA.

Se han recuperado cuatro fragmentos cerámicos en los niveles holocenos (1-2).

Nivel 2:

AZ.O13.4.3.001: Pequeño fragmento cerámico de pasta parda y exterior anaranjado (9x11x10 mm). Presenta abundantes inclusiones entre las que se identifican fragmentos de cuarzo y de un mineral negro, probablemente lutita.

AZ.O13.1.3.002: Fragmento de cerámica de pasta de color marrón oscuro (35x26x7 mm) con abundantes inclusiones de cuarzo de pequeño tamaño. El resto está tan alterado que es imposible leer la forma, además está parcialmente concrecionado y parece termoalterado.

Nivel 1:

AZ.O13.1.1.001: Fragmento cerámico aplanado (115x55x9 mm). El resto está muy concrecionado por lo que es imposible leer las superficies. Uno de los lados es muy recto, probablemente se trate de un borde. La pasta es muy grosera pudiéndose reconocer inclusiones minerales de gran tamaño. Por la morfología del resto y el tipo de pasta probablemente se trata de un fragmento de teja.

AZ.N14.3.1.001: Fragmento cerámico aplanado (45x71x9 mm). Muy semejante al anterior aparece también fuertemente concrecionado. La pasta es también muy grosera. Probablemente se trata de un fragmento de la misma teja.

Los escasos restos cerámicos recuperados en los niveles holocenos no permiten realizar demasiadas precisiones. Desde un punto de vista cronológico parece que las del nivel 2 tienen factura prehistórica mientras que las del nivel 1 son probablemente de época histórica.

5. CONCLUSIONES.

El repertorio industrial recuperado en Askondo resulta, por el momento, muy reducido para realizar consideraciones acerca de la adscripción tecnocultural, de los sistemas de aprovisionamiento de utillaje, de la gestión de este utillaje y de la función del sitio.

A pesar de ello se han podido diferenciar los niveles del Paleolítico Medio de la ocupación Auriñaciense, la más rica de toda la secuencia, y se han podido definir dos útiles óseos gravetienses de los que la punta de Isturitz, recuperada en la superficie de la cavidad, resulta el más interesante desde un punto de vista arqueológico ya que se inserta en una problemática general referida a la fabricación, función y dispersión territorial de este tipo de objetos durante el Gravetiense.

6. BIBLIOGRAFÍA.

Goutas, N.

2008 “Les pointes D’Isturitz sont-elles toutes des pointes de projectile?”, *Gallia Préhistoire* 50, 45-101.

Johnson, E.

1985 “Current developments in bone technology”, *Advances in Archaeological Method and Theory* 8, 157-235.

Labraz, C.

1990 “Oso prehistórico busca acomodo”, *El Correo Español- El Pueblo Vasco*, Domingo 1 de Abril de 1990, 16.

Mozota Holgueras, M.

2007 *El hueso como materia prima: Las industrias óseas del final del Musteriense en la Región Cantábrica. Los niveles B-C-D de Axlor (Dima, Bizkaia)*. Trabajo de Investigación de Tercer Ciclo, Universidad de Cantabria.

2009 “El utillaje óseo musteriense del nivel “D” de Axlor (Dima, Vizcaya): análisis de la cadena operativa”, *Trabajos de Prehistoria* 66 (1), 28-46.

Mujica Alustiza, J. A.

1983 “Industria de hueso en la prehistoria de Guipúzcoa”, *Munibe* 35, 451-631.

Rios-Garaizar, J.

2009 “Variabilidad tecnológica en el Paleolítico Medio de los Pirineos Occidentales: una expresión de las dinámicas históricas de las sociedades neandertales”, *Treballs d’Arqueologia* 14, 171-194.

2011 “El nivel IXb de Ekain (Deba, Gipuzkoa): Una ocupación efímera del Auriñaciense Antiguo”, *Munibe (Antropología-Arkeologia)* 62, 87-100.

de la Rasilla Vives, M., Santamaría Álvarez, D.

2006 “El Gravetiense del Abrigo de Cueto de la Mina (Posada de Llanes, Asturias)”, *Zona Arqueológica* 7 (1), 422-439.

Rigaud, A.

2007 “Retouchoirs sur éclats diaphysaires ou «affûtoirs» de Labastide (Hautes-Pyrénées): Du barbarisme scientifique à la rigueur artisanale au travers de l’expérimentation”, *Archéologie des Pyrénées occidentales et des Landes* 26, 193-200.

San Juan-Foucher, C., Vercoutère, C.

2003 “Les « sagaies d’Isturitz » des niveaux gravetiens de Gargas (Hautes-Pyrénées) et de Pataud (Dordogne)”, *Préhistoires Méditerranéennes* 12, 75-94.